

Typologie et technologie du matériel lithique du Paléolithique supérieur récent du trou Jadot

Michel Toussaint
Angelika Becker

A. Typologie

La couche CGMphi a livré un petit atelier de débitage (fig. 26 et 27) réparti dans les carrés C6 et C7 et très accessoirement C5, B6 et B7 du carroyage. De forme ovalaire à grand axe orienté du nord-est au sud-ouest, cet amas de silex, dont l'épaisseur était de l'ordre de 15 cm, avait une surface qui ne dépassait guère un demi mètre carré. Abstraction faite d'un éclat isolé au sud-ouest du carré C6 et des 3 artefacts situés en C5, B6 et B7, le grand axe de la concentration mesurait 100 cm et le petit environ 60, avec densité décroissante des objets vers la périphérie.

A une exception près, tous les 267 éléments lithiques recueillis dans la structure semblent provenir d'un seul bloc de silex gris-verdâtre à grains fins et à cortex brun-jaunâtre, mince et relativement lisse. Une légère patine grise recouvre l'ensemble des pièces.

Le rognon de silex brut utilisé avait, dans la mesure où les parties conservées permettent d'en juger, une forme ovalaire irrégulière d'environ 16,5 cm de longueur pour 7,5 à 8,5 cm de largeur maximale. Son épaisseur ne dépassait pas 5,5 à 5,8 cm.

Un remontage principal de 91 artefacts, dont 3 outils, et un ensemble secondaire de 12 pièces ont pu être reconstitués. Leurs

compositions typologiques détaillées sont précisées aux tableaux 8 à 10.

Les 163 autres artefacts de silex gris-verdâtre, tous de petites dimensions, se répartissent en 28 pièces, essentiellement des éclats sans cortex, dont la longueur maximale est comprise entre 25 et 15 mm, et 135 objets dont la longueur maximale n'atteint pas 15 mm (éclats, débris, fragments de lamelles et une majorité d'esquilles de quelques mm). Dix-neuf de ces 163 pièces ont en outre pu être rassemblées pour composer 6 petits remontages accessoires comprenant de 2 à 5 silex chacun.

Le taux de remontage des artefacts en silex gris-verdâtre, c'est-à-dire le pourcentage de pièces qui s'insèrent dans l'ensemble des remontages, vaut 45,9%. Cette valeur peut être considérée comme très élevée dans la mesure où les éléments non raccordables ont tous des longueurs maximales inférieures à 25 mm, avec une forte majorité d'éclats et d'esquilles de moins de 15 mm.

Quatre outils, dont trois appartiennent au remontage principal, ont été découverts :

- un éclat cortical retouché (fig. 28, n° 1);
- une lame avec une encoche et troncature transversale partielle (fig. 28, n° 2);

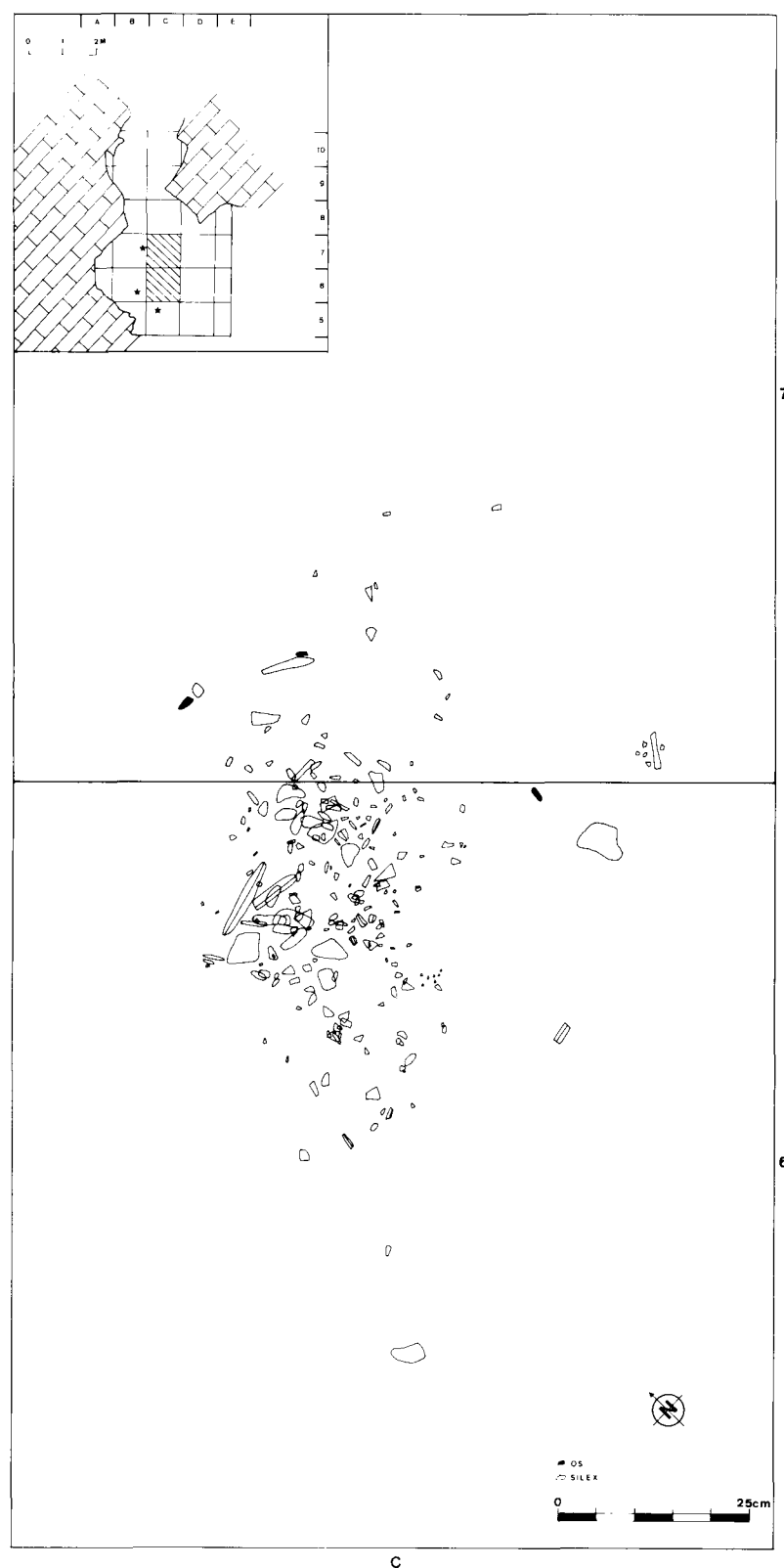


Fig. 26 Archéologie : répartition des vestiges lithiques et des esquilles osseuses de l'amas de débitage du Paléolithique supérieur de la couche CGMphi. Les 3 étoiles situées sur le plan général du site (cartouche supérieur gauche) permettent de localiser les seuls artefacts lithiques non répartis dans les carrés C6 et C7.



Fig. 27 Archéologie : photographie d'un détail d'un des décapages successifs de l'amas de débitage de la couche CGMphi.

- une lame à crête à troncature oblique distale (fig. 28, n° 3);

- une grande lame en silex gris à grains très fins, non patinée, dont l'extrémité proximale est émoussée et dont les deux bords proximaux portent des traces d'utilisation (fig. 28, n° 4). L'un des bords de cette pièce semble avoir servi au travail de plantes non ligneuses (Toussaint et Becker, 1986). Il s'agit donc du seul artefact à n'avoir pas été réalisé dans le silex gris-verdâtre caractéristique du gisement.

B. Ensemble remonté principal

Le remontage principal comprend 91 artefacts (tabl. 8 et 9; fig. 29 à 35). Le nucléus correspondant n'a pas été retrouvé. Il a vraisemblablement été jeté dans la pente précédant la terrasse ou emporté ailleurs par le tailleur paléolithique.

Les premiers éclats débités sur les zones conservées du pourtour du bloc présentent presque tous du cortex, ce qui semble indiquer l'apport d'un rognon brut sur le site, sans mise en forme préliminaire sur les lieux d'extraction.

Le bloc brut était, par rapport au plan de débitage des grandes lames matérialisé sur la figure 29 par la succession des pièces n° 53a, 56, 53b, 68, 67 et 62b, nettement plus épais du côté de l'extrémité 1 que de la 2. Le tailleur paléolithique s'est d'abord attaché à enlever ce surplus de matière, dont le débitage est conventionnellement qualifié de "première séquence" (artefacts n° 1 à 34 du tableau 8). Pour ce faire, l'artisan a décortiqué et épingle cette partie du rognon, en le percutant perpendiculairement au bord longitudinal conservé, de manière à affecter alternativement les faces dénommées A et B (artefacts 1 à 23 du

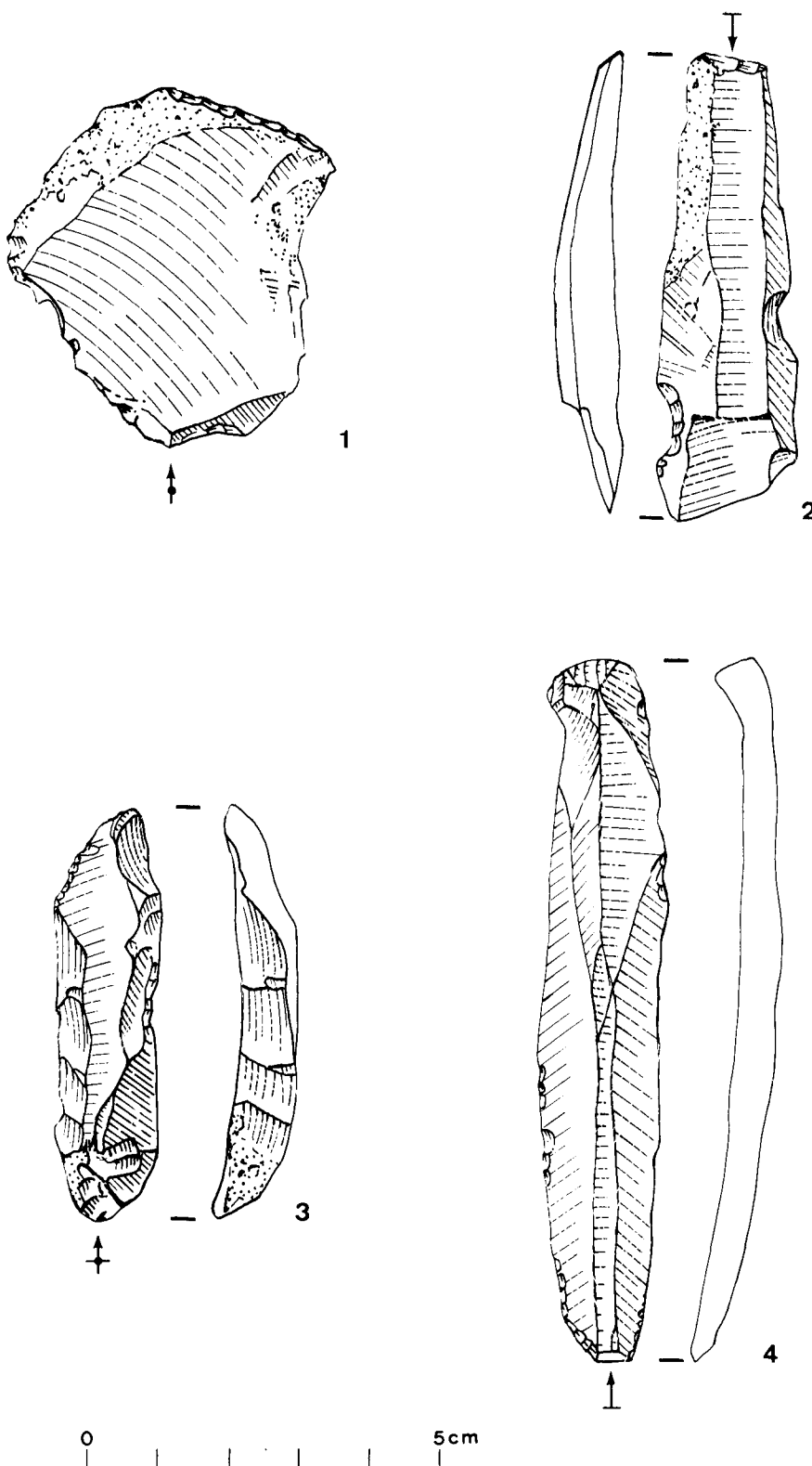


Fig. 28 Archéologie : industrie lithique de la couche CGMphi. 1. Eclat retouché; 2. Lame à troncature transversale partielle; 3. Lame à troncature oblique; 4. Lame émoussée.

Tabl. 8 Archéologie : remontage principal, première séquence (43 artefacts), avec respectivement l'ordre de débitage (les pièces trouvées en plusieurs morceaux sont désignées par les lettres a, b, c), le n° d'identification à la fouille (n° du carré-n° de l'artefact), la description typologique des artefacts (P = extrémité proximale; M = partie centrale; D = extrémité distale; crtix = présence de plages corticales couvrant moins de 50% de la surface; le terme décorticage est utilisé si l'objet présente de 80% à 100% de cortex), la longueur des artefacts selon l'axe de débitage et l'emplacement des séries de pièces dans la séquence de débitage.

Ordre	Identification	Description	Long. (mm)	Emplacement-séquence
1	C6-19	Eclat de décorticage (D)	16	
2a	C6-17	Eclat (P+M); crtix	41	
2b	C6-7	Eclat (D); crtix	16	Décorticage puis épannelage
3	C6-20	Débris; crtix	24	de la face A,
4	C6-43	Eclat retouché; crtix	52	du côté de l'extrémité 1
5	C6-115	Eclat (P); crtix	31	
6a	C6-72	Eclat (P); crtix	21	
6b	C6-6	Eclat (M+D); crtix	31	
7	C6-81	Lamelle corticale	30	Décorticage de
8a	C6-77	Eclat lamellaire cortical (P)	8	l'extrémité 1,
8b	C6-86	Eclat lamellaire cortical (M)	11	face B
9	C6-36	Eclat	12	
10	C6-140	Eclat	10	Epannelage de la face B
11	C7-8	Eclat	19	
12	C6-21	Débris de décorticage	12	Décorticage et
13	C6-172	Eclat (D)	15	épannelage de la face A,
14	C6-191	Eclat de décorticage	42	tout près de l'extrémité 1
15	C6-145	Eclat	9	Epannelage de la face B
16	C6-12	Eclat; crtix	45	
17a	C7-27	Eclat (P + M); crtix	49	
17b	C6-41	Eclat (D); crtix	17	
18	B6-16-5	Eclat	41	
19	C6-109	Eclat	8	Epannelage de la face A
20	C6-5	Eclat (D)	19	
21	C6-157	Eclat (D)	27	
22	C6-133	Eclat	26	
23	C7-22 (b)	Lamelle	16	
24	C6-84	Eclat; crtix	24	
25	C6-70	Eclat	27	
26a	C6-181	Lamelle d'avivage (P + M)	23	Aménagement d'une crête
26b	C6-144	Lamelle d'avivage (D)	19	longitudinale
27	C6-48	Lamelle	38	
28a	C6-11	Lamelle d'avivage (M)	23	
28b	C7-24	Lamelle d'avivage (D)	15	
29	C6-186	Eclat	12	
30a	C6-196	Lame (P)	15	
30b	C6-54	Lame (M + D)	58	
31a	C7-7	Lamelle (P)	22	Débitage d'éclats et de lames
31b	C6-14	Lamelle (M)	16	à partir de l'extrémité 1
32a	C6-22	Lamelle (M)	33	
32b	C6-118	Lamelle (D)	13	
33	C6-67	Lamelle; crtix	44	
34	C6-151	Eclat; crtix	23	

Tabl. 9 Archéologie : remontage principal, deuxième séquence (48 artefacts), mêmes abréviations qu'au tableau 8.

Ordre	Identification	Description	Long. (mm)	Emplacement-séquence
35	C6-175	Eclat de décorticage	13	
36	C6-200	Eclat	15	
37	C6-7 (b)	Eclat; crtX	17	Extrémité 2, extension
38	C6-24	Lamelle d'avivage (P + M)	17	
39	C7-6	Lamelle d'avivage	22	
40	C6-129	Eclat de décorticage	22	
41a	C6-28	Eclat de décorticage (P)	18	Décorticage de la face A
41b	C6-192	Eclat de décorticage (M)	5	du côté de l'extrémité 2
41c	C7-10	Eclat de décorticage (M)	17	
41d	C6-105	Eclat de décorticage (D)	11	
42	C6-114	Eclat de décorticage	48	
43	C6-190	Eclat de décorticage	36	Décorticage puis
44	C7-28	Eclat de décorticage	44	épannelage de la face B
45	C6-55	Eclat; crtX	40	
46	C6-117	Eclat; crtX	52	
47	C7-13	Eclat; crtX	28	Extrémité 2, extension
48a	C7-29	Eclat (P)	13	
48b	C6-96	Eclat (M + D); crtX	37	
49	C6-4	Eclat	11	Aménagement d'une crête
50	C6-16	Troncature oblique sur l. à crête	59	longitudinale
51	C6-132	Eclat de décorticage	14	Extrémité 2, face B
52	C6-63	Eclat (M + D); crtX	17	
53a	C6-23	Lame (P); crtX	11	
53b	C6-26	Lame (M)	33	
53c	C6-29	Lame (D); crtX	14	
54	C6-57	Lamelle (P + M); crtX	16	
55	C6-74	Lamelle	38	
56	C6-52	Lame; crtX	48	Débitage laminaire à partir de l'extrémité 1
57a	C6-69			
57b	C7-5			
57c	C6-30	Lame cassée en 5 fragments	39	
57d	C6-176			
57e	C6-25			
58	C7-22	Lame d'avivage	87	Débitage depuis extrém. 2
59	C7-18	Eclat; crtX	23	
60a	C6-128	Eclat (P)	21	Extrémité 2, extension
60b	C6-127	Eclat (D); crtX	16	
61	C6-104	Eclat; crtX	20	
62a	C6-42	Lame (P); crtX	19	
62b	C7-1	Lame encochée, tronquée; crtX	68	Débitage depuis extrémité 2
63	C6-156	Eclat	21	
64a	C6-73	Eclat	25	
64b	C6-152	Eclat; crtX	28	Débitage depuis extrémité 1
65a	C6-9	Eclat (M + D)	41	
65b	C6-199	Eclat (D)	20	
66	C6-103	Eclat; crtX	32	
67	C7-30	Lame; crtX	48	
68	C6-136	Lamelle (M + D); crtX	16	Débitage depuis extrémité 2

tableau 8; fig. 29 et 30). Il a ensuite procédé à l'aménagement d'une crête longitudinale puis à son débitage à partir de l'extrémité 1 (pièces n° 24 à 28b) et enfin à l'enlèvement d'éclats et surtout de lames encore irrégulières et de lamelles à partir de la même extrémité (n° 29 à 34).

La deuxième séquence chronologique du débitage (artefacts 35 à 68; tabl. 9) a débuté par le décorticage-épannelage de l'extrémité 2 (n° 35 à 39) puis par le décorticage des faces A et B du bloc sur la moitié jouxtant l'extrémité 2, par percussion perpendiculaire à l'axe longitudinal (n° 40 à 45). Après une nouvelle phase d'aménagement de l'extrémité 2 (n° 46 à 48b), il a été procédé à la réalisation d'une crête longitudinale enlevée ensuite à partir de ladite extrémité (n° 49-50). L'essentiel des phases ultérieures consiste en un débitage de lames, de lamelles et d'éclats tirés alternativement des deux extrémités du nucléus (n° 52 à 58 et 62 à 68), parfois réaménagées (n° 59 à 61). Le nucléus présentait donc, à ce stade, deux plans de frappe opposés.

Du point de vue topographique, quasiment toutes les pièces du remontage principal proviennent d'une zone ovale de 75 x 35 cm à grand axe allant du nord-est au sud ouest, dans les carrés C6 et accessoirement C7. Les figures 34 et 35 montrent la répartition des pièces composant respectivement les première et deuxième séquences du bloc, avec juxtaposition des numéros des tableaux 8 et 9, pour indiquer l'ordre chronologique de la taille. Les éclats

successifs sont rarement situés l'un à côté de l'autre. Cette relative dispersion pourrait être due, au moins en partie, à des perturbations d'origine taphonomique, dans la mesure où le relevé des pendages montre une majorité de pièces disposées obliquement, voire sur chant. Des changements répétés de maintien du bloc au cours du travail de mise en forme pourraient également être pris en compte au vu des séquences de débitage (fig. 29 à 33).

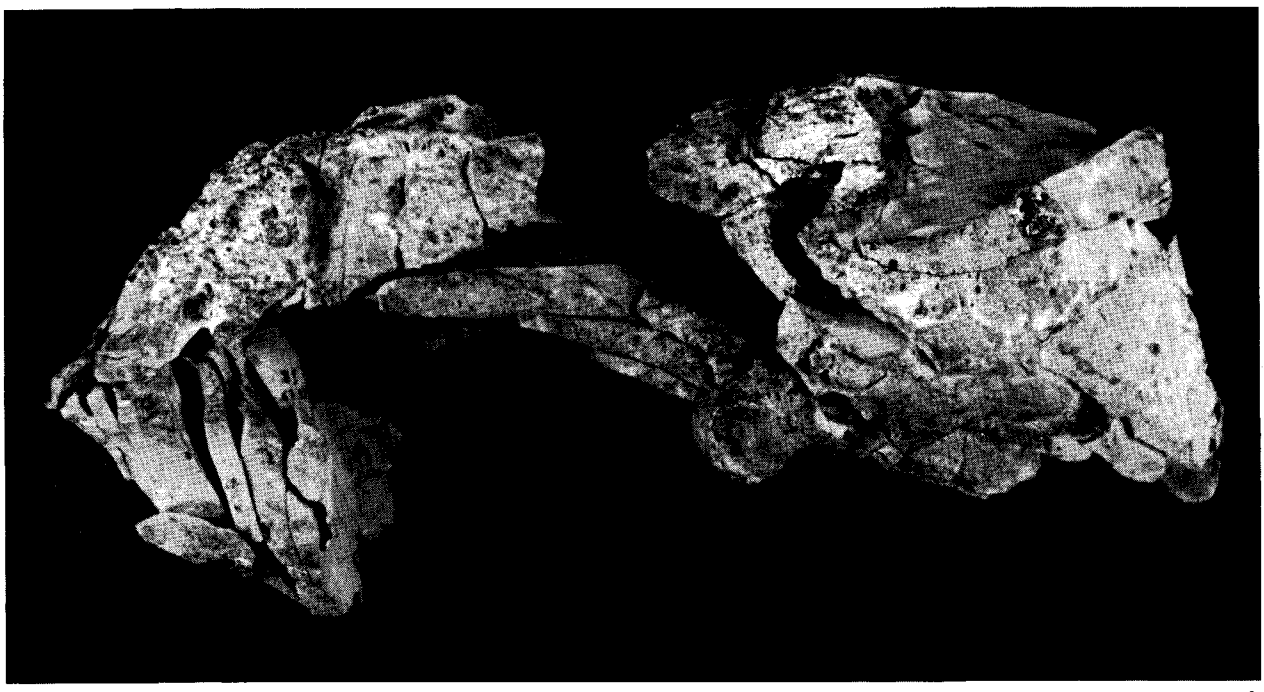
C. Ensemble remonté secondaire

Cette petite série de 12 artefacts (tabl. 10; fig. 36 et 37), qui ne se raccorde pas au remontage principal, correspond à une phase d'avivage d'un des bords longitudinaux du nucléus, avec enlèvement successif d'une tablette, d'une lamelle, d'éclats et d'une grande lame à crête partielle. Toutes les pièces ont la même direction de débitage, perpendiculaire au plan de frappe de la tablette.

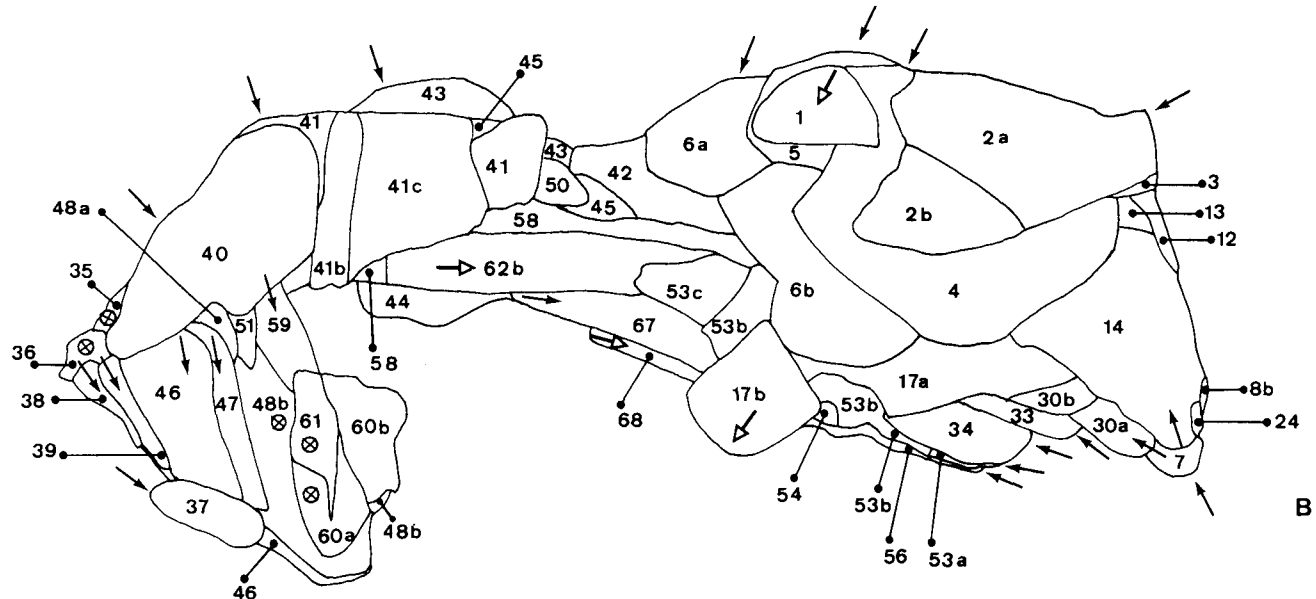
A l'exception d'un éclat retrouvé dans le Carré B7, les artefacts qui composent cet ensemble remonté étaient tous disposés au centre de l'atelier, sur une surface réduite de 25 x 50 cm à grand axe orienté du nord-est au sud-ouest, dans le Carré C6 et aux marges de C7. Pour faciliter l'analyse de la répartition spatiale de l'ensemble, l'ordre chronologique de la taille est indiqué, sur la figure 37, par les numéros du tableau 10 et par des flèches, conformément à la méthode proposée par Cziesla (1986 et 1990).

Bibliographie

- CZIESLA, E., 1986. Über das Zusammenpassen geschlagener Steinartefakte. *Archäologisches Korrespondenzblatt*, 16, pp. 251-265.
- CZIESLA, E., 1990. On Refitting of Stone Artefacts. In : Cziesla, E., Eickhoff, S., Arts, N. et Winter, D. (éds) - *The big Puzzle, Studies in Modern Archaeology*, vol. 1, Bonn, pp. 9-44.
- TOUSSAINT, M. et BECKER, A., 1986. Le Paléolithique supérieur récent du Trou Jadot à Comblain-au-Pont (Province de Liège, Belgique). *Helinium*, 26, pp. 206-215.



A



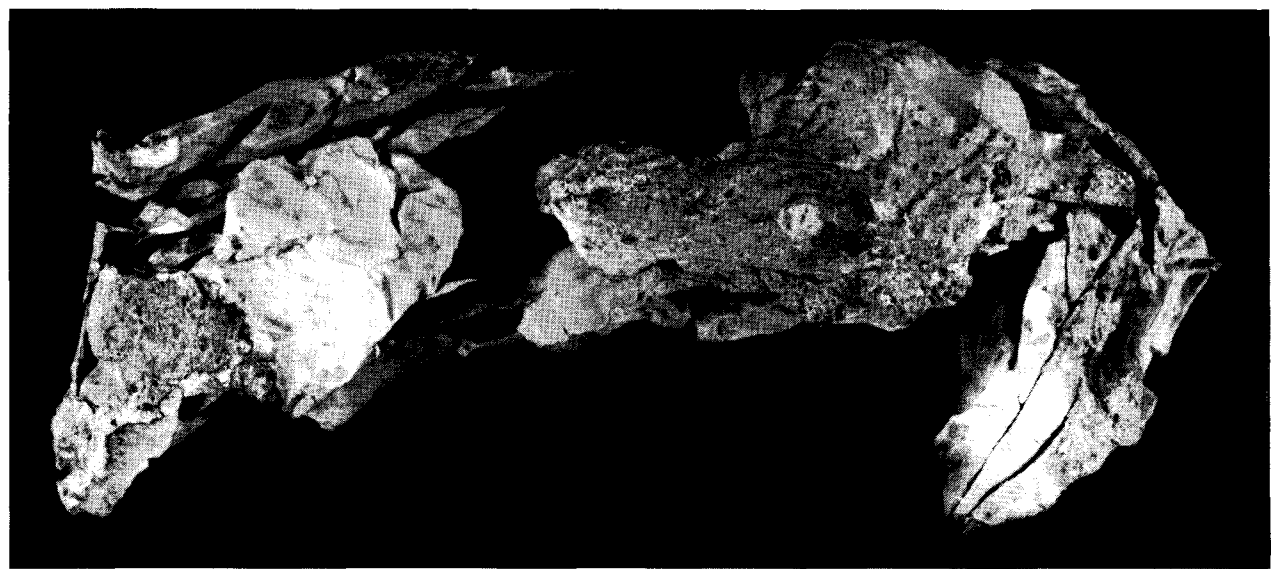
Extrémité 2

Extrémité 1

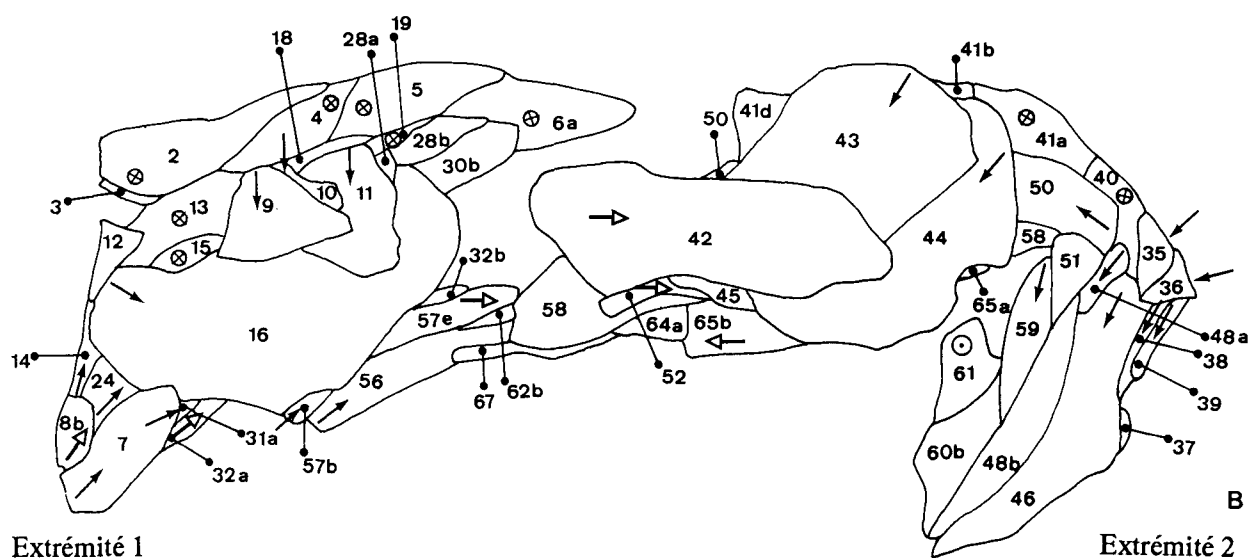
- Direction de débitage, bulbe conservé
- Direction de débitage, bulbe non conservé
- ⊗ Artefact, vue proximale



Fig. 29 Archéologie : remontage principal, photographie (A) et schéma d'interprétation (B) de la face A (les photographies des fig. 29 à 33 et de la fig. 36 sont dues à Y. Hanlet.).



A



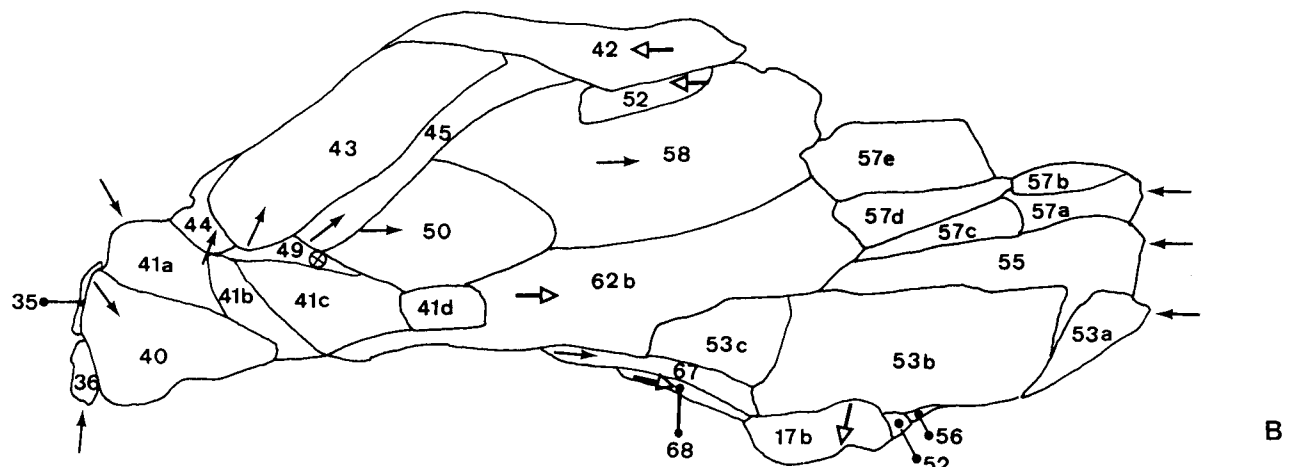
- Direction de débitage, bulbe conservé
- Direction de débitage, bulbe non conservé
- ⊕ Artéfact, vue proximale
- Artéfact, vue distale



Fig. 30 Archéologie : remontage principal, photographie (A) et schéma d'interprétation (B) de la face B.



A

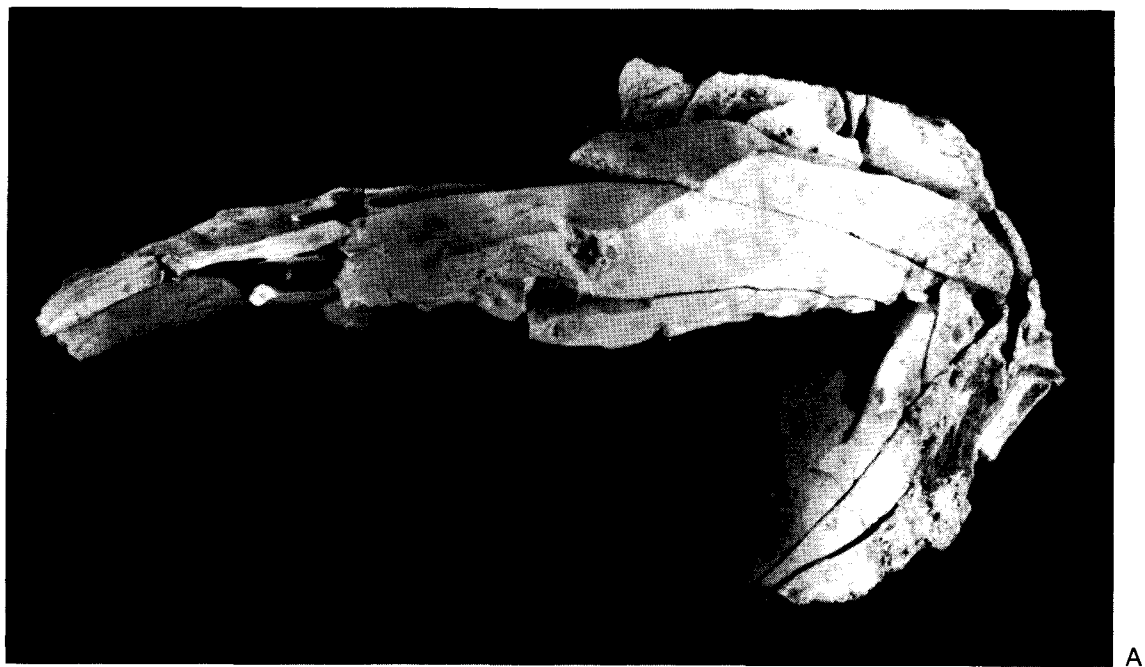


Extrémité 2

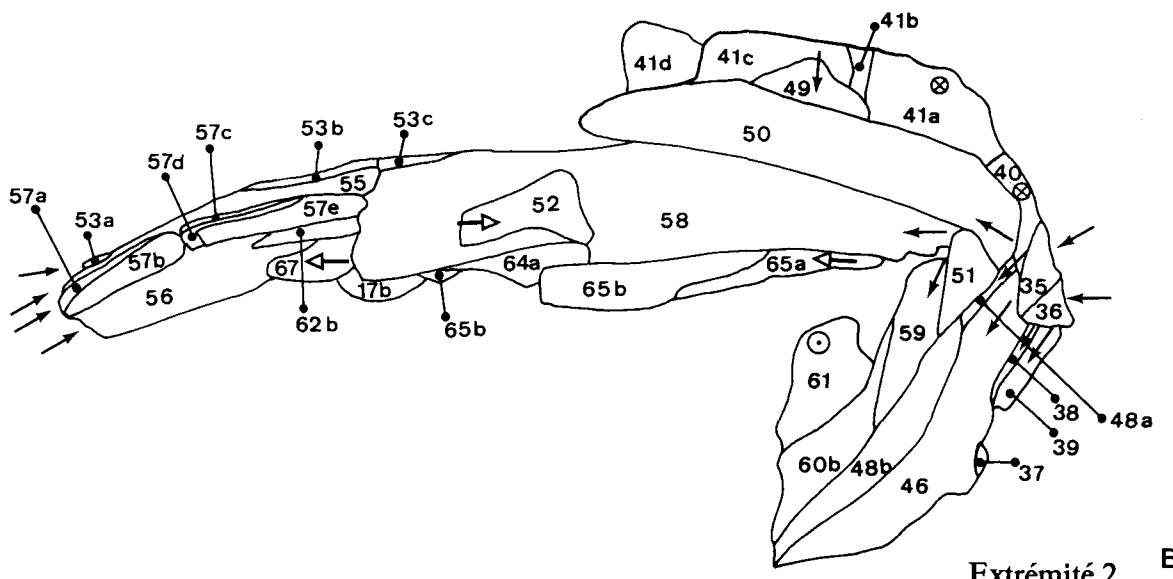
- Direction de débitage, bulbe conservé
- Direction de débitage, bulbe non conservé
- ⊕ Artefact, vue proximale



Fig. 31 Archéologie : remontage principal, photographie (A) et schéma d'interprétation (B) en vue supérieure, après enlèvement de la première séquence de débitage (artefacts n° 1 à 34 du tableau 8). Le bloc remonté comprend, à ce stade, 48 artefacts (n° 35 à 68 du tableau 9).



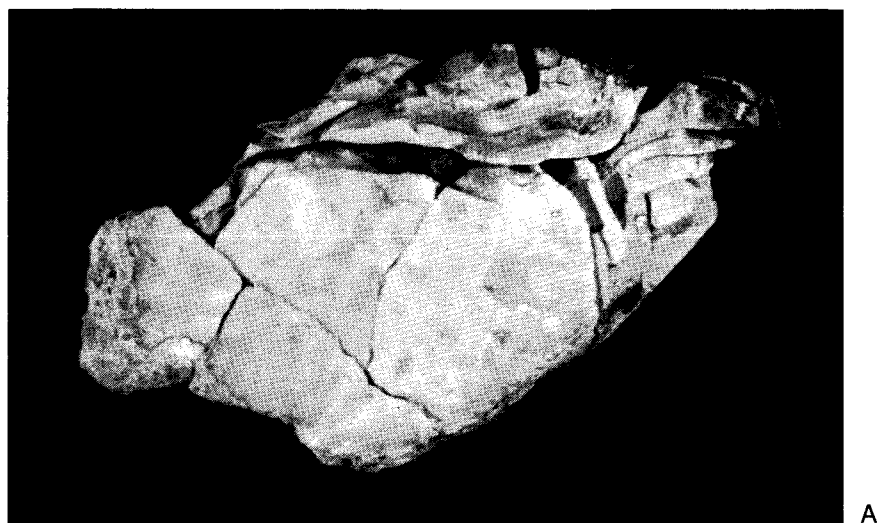
A

B
Extrémité 2

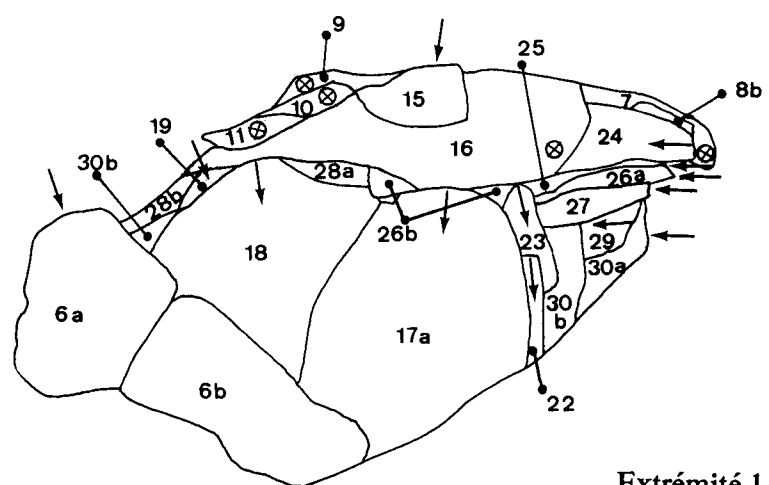
- Direction de débitage, bulbe conservé
- Direction de débitage, bulbe non conservé
- ⊕ Artefact, vue proximale
- (○) Artefact, vue distale



Fig. 32 Archéologie : remontage principal, photographie (A) et schéma d'interprétation (B) de la face B, après enlèvement de la première séquence de débitage (artefacts n° 1 à 34 du tableau 8) et des éclats 42 à 45 du tableau 9. Le bloc comprend, à ce stade, 44 artefacts (n° 35 à 41d et 46 à 68 du tableau 9).



A



Extrémité 1

B

- Direction de débitage, bulbe conservé
- Direction de débitage, bulbe non conservé
- ⊗ Artefact, vue proximale



Fig. 33 Archéologie : remontage principal, photographie (A) et schéma d'interprétation (B) de la première séquence de débitage, après enlèvement des éclats 1 à 5 du tableau 8. Le bloc comprend, dans cet état, 37 artefacts (n° 6a à 34 du tableau 8).

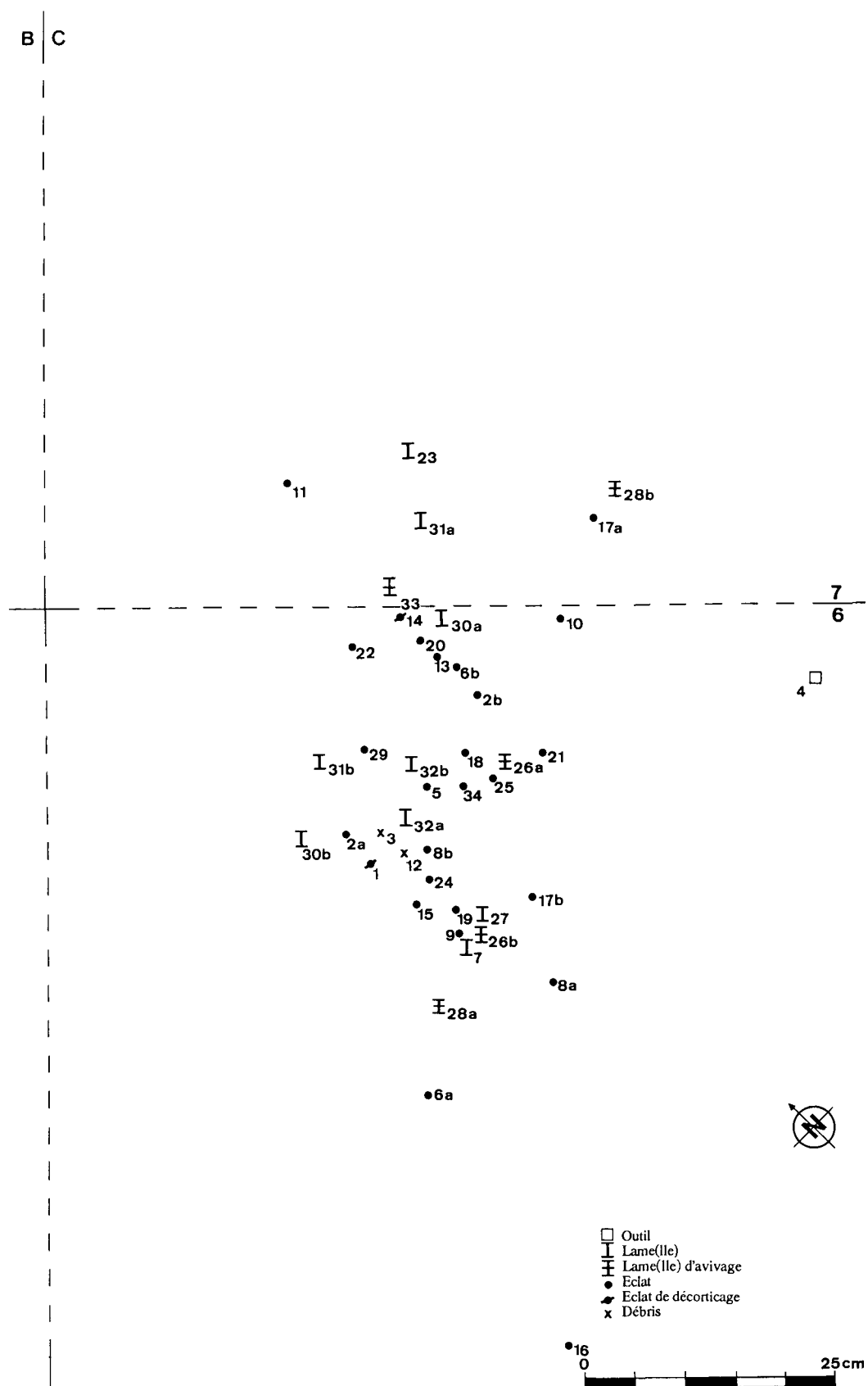


Fig. 34 Archéologie : localisation des 43 artefacts composant la première séquence du remontage principal, avec numéros correspondant à l'ordre chronologique de la taille (n° 1 à 34 du tableau 8).

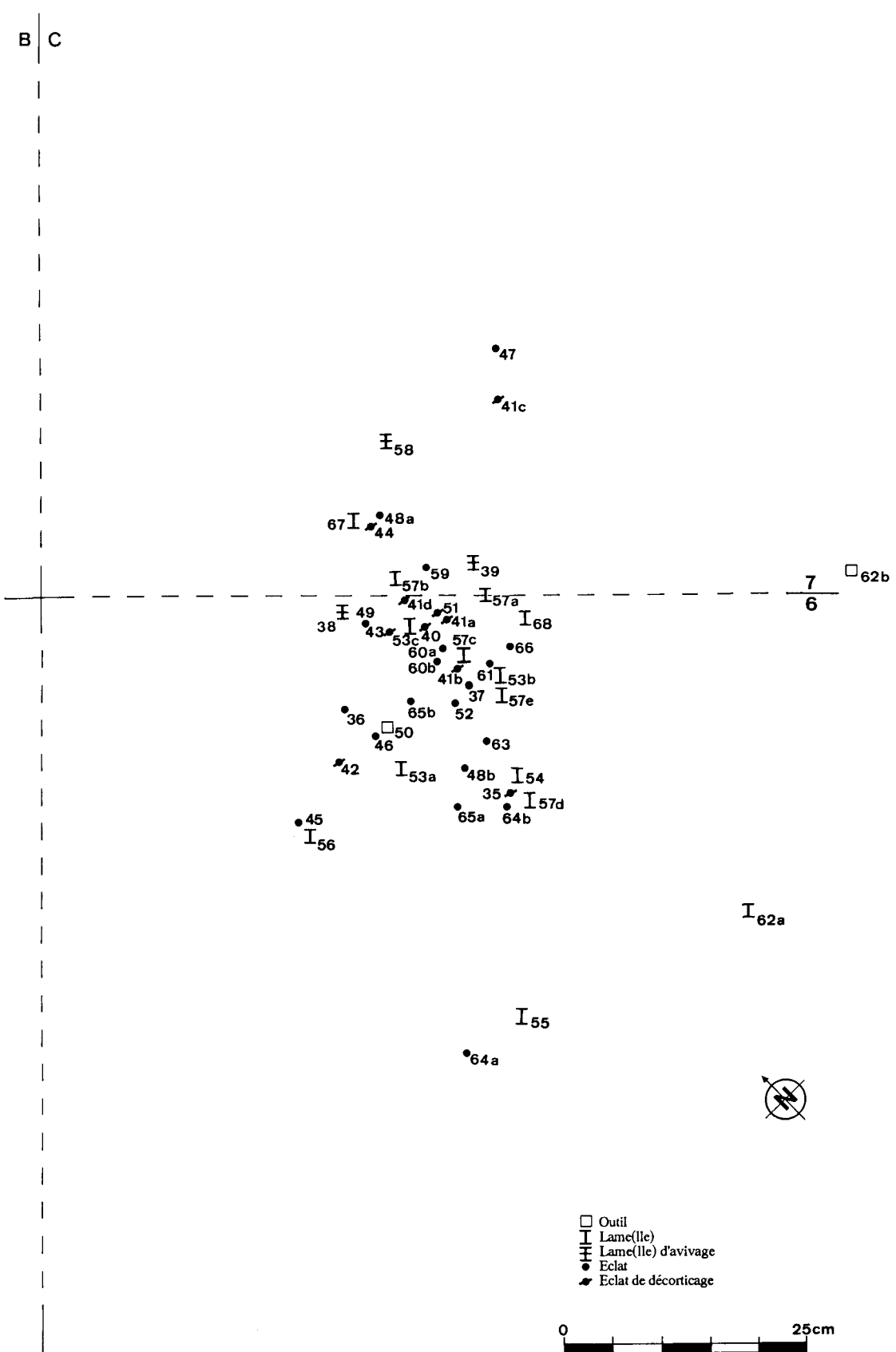


Fig. 35 Archéologie : localisation des 48 artefacts composant la deuxième séquence du remontage principal, avec numéros correspondant à l'ordre chronologique de la taille (n° 35 à 68 du tableau 9).

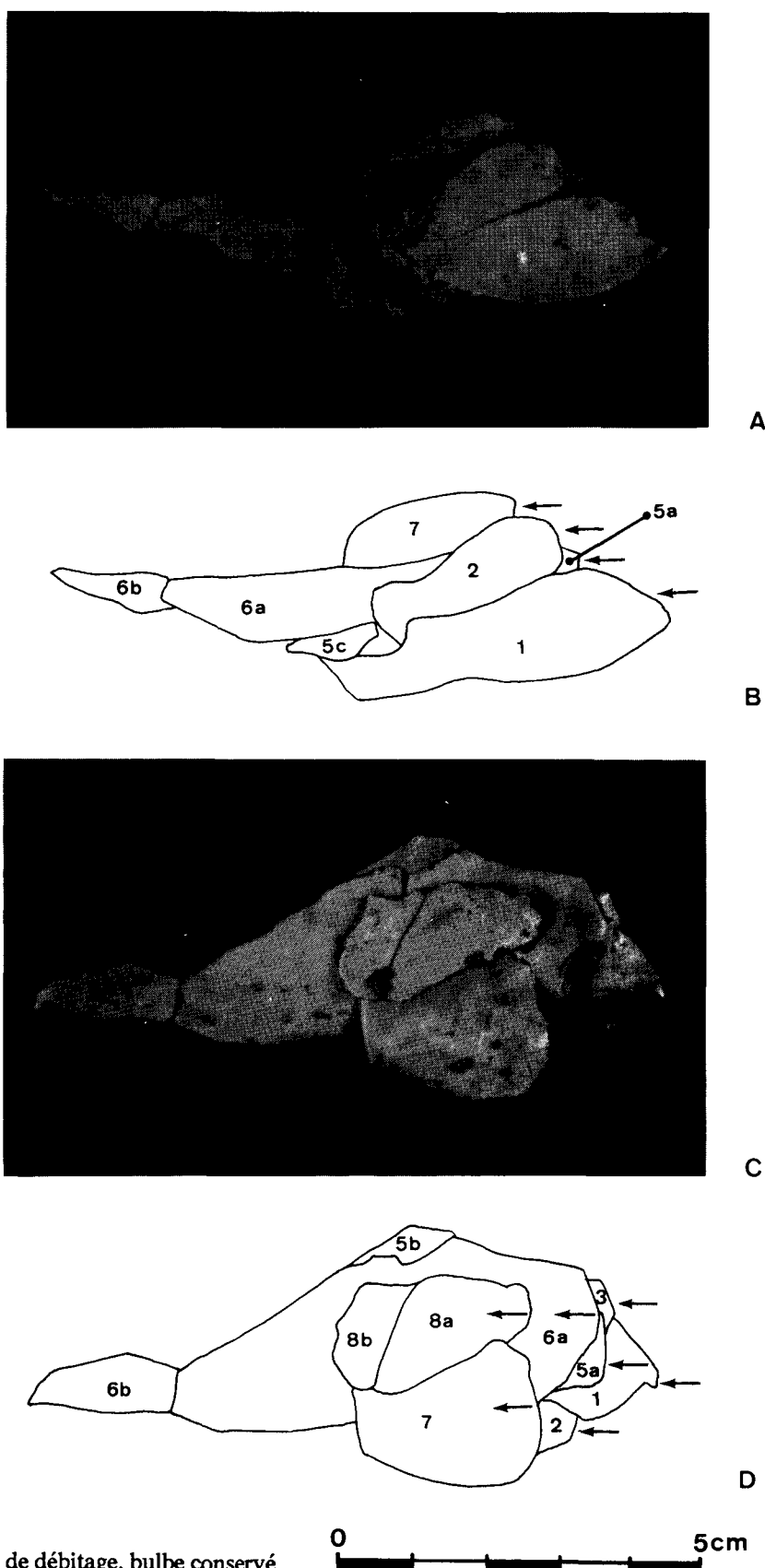


Fig. 36 Archéologie : remontage secondaire, photographie (A) et schéma d'interprétation (B) en vue supérieure; photographie (C) et schéma d'interprétation (D) en vue inférieure.

Tabl. 10 Archéologie : remontage secondaire (12 artefacts), mêmes abréviations qu'au tableau 8.

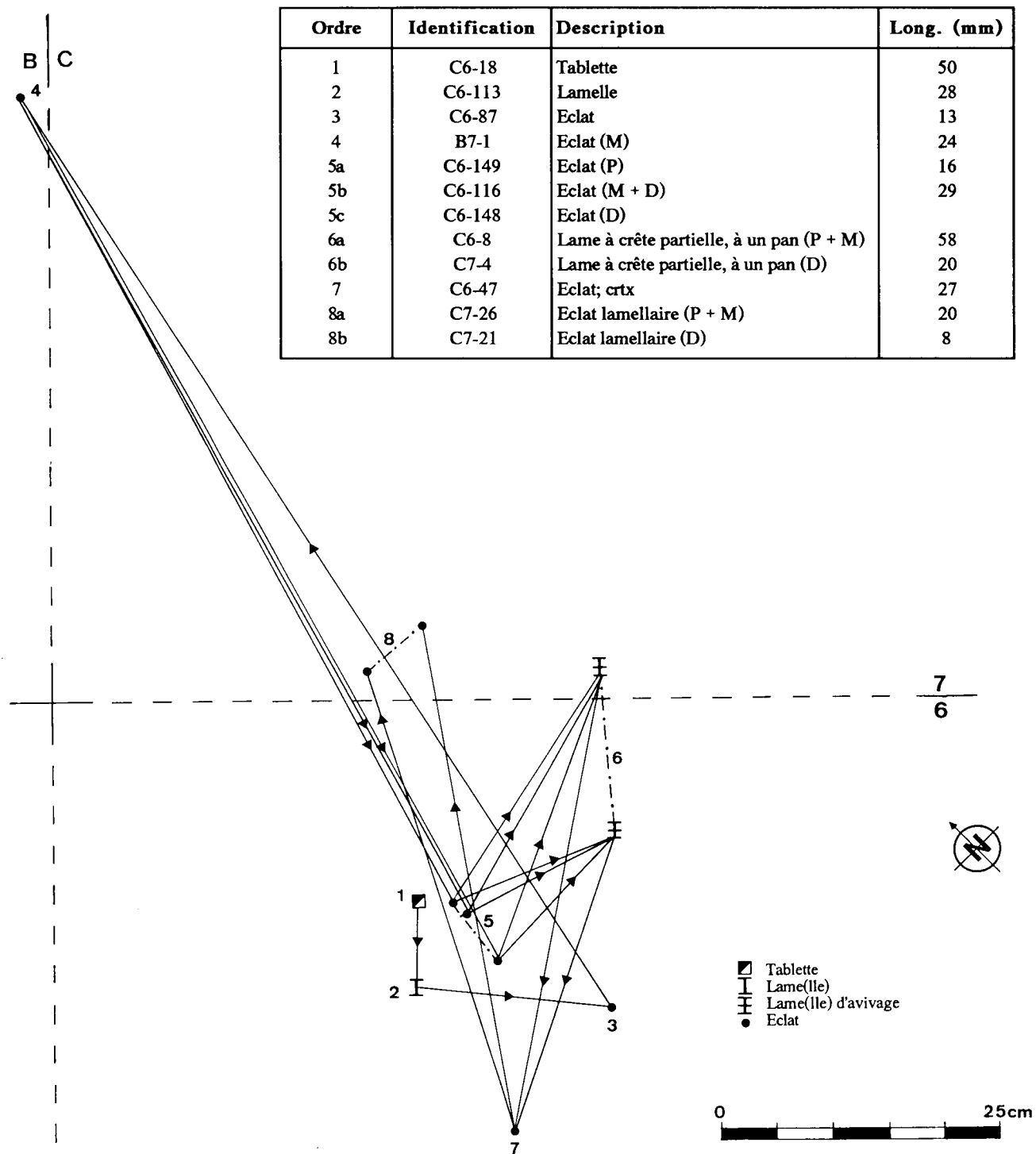


Fig. 37 Archéologie : localisation des 12 artefacts composant le remontage secondaire. L'ordre chronologique de la taille est indiqué par les numéros du tableau 10 et par des flèches, conformément à la méthode proposée par Cziesla (1986 et 1990).